

名古屋大学工学部 ○ 正員 岩田 実一郎
大阪大学工学部 正員 横木 亭

1. 緒言：斜面上への波の潮上特性は潮上高さとその周期の両面より論議しなければならない。前者は構造物の天端高さと越波流量、後者は越波流量を支配する。斜面上への不規則波の潮上高さに関する研究としては、Saville の研究を始めとして數的多くの研究があり著者ら²⁾の潮上高さの算定式を提唱している。著者らの提唱式もそうであるが、従来は潮上高さの算定の際、入射してくる不規則波を Zero-upcross 波と定義し、この zero-upcross 波と同じ周期を有する規則波に置換して、規則波に対して得られた成果を用いて不規則波の潮上高さの分布式を求めている。しかし、不規則波のように、異なって多くの波が斜面を潮上する場合、波高の大きな波が波高の小さい波と、周期の長い波が短い波とのみならぬ現象が往々にして生じるので、規則波に対して得られた成果をそのまま不規則波に対して拡大適用することは必ずしも検討しておく必要がある。本論では、潮上波の周期に着目し、その周期分布の特性について主に水理実験面より検討を加えており、その結果の一部を報告する。

2. 実験装置と実験方法：実験は大阪大学工学部土木工学科の片側ガラス張りの 2 次元鋼製造波水槽（長さ 30m × 幅 0.75m × 高さ 0.90m）で行なわれた。実験波は単成分波、2 成分合成波と不規則波である。斜面は 1/40 の不透過一樣傾斜面である。不規則波はブレット・ジョンソン型スペクトルと期待スペクトルとする波であり、波形勾配の異なる 7 種類の波を発生させた。発生波は容量式水位計で、潮上波は潮上計で計測し、記録は全て磁気テープに収録した。発生波および潮上波は全て Zero-upcross 法と定義している。

3. 実験結果とその検討：入射波が単成分波（規則波）の場合、図-1 に示すように潮上波の周期はほぼ入射波の周期に等しい。一方、入射波が 2 成分合成波になると、図-2 に示すように潮上波の周期は入射波の周期より長くなり、むしろ入射波の波頂と波谷を包絡する包絡波形の周期にはほぼ等しくなる場合が多い。これは、先行波と後続波の波高と周期の大小関係で、小さな波が斜面上で大きな波に追いつかれて、また大きな波の down-rush 時に小さな波の up-rush 波が打消されたりして結果生じたものと考えられるが、入射波の包絡波形が斜面上における潮上波の周期分布を支配する一つの重要な要素となっていると考えられる。このことは入射波を zero-upcross 波と定義し、さらに規則波換算して潮上波の特性を推算するとの困難さを示している。入射波が不規則波となる場合も、図-3(a)(b) に示すように入射波の周期（Zero-upcross 波）に比べて潮上波の周期が著しく長くなっている。図-3(c) は入射波の包絡波形を図-3(c) に示すような直線近似で近似して場合の接幅比を示している。図-3(c) の包絡波形は潮上波の波形とは勿論一致していないが、入射波の波形（図-3(a)）よりは潮上波の波形に近くとみなしえる。そこで、潮上波、入射波の水位変動と包絡波形の周期分布の関連性について論議してみる。図-4 に示すように、入射波の水位変動の周期 $T/4\pi$ はほぼ $T^2 Rayleigh$ 分布と近似されていて（■印）、包絡波形の周期と潮上波の周期 $T/4\pi$ は $T^2 Rayleigh$ 分布からはずれて

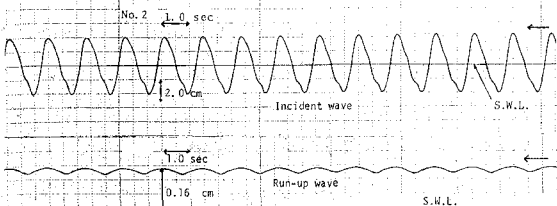


図-1 入射波と潮上波（規則波）

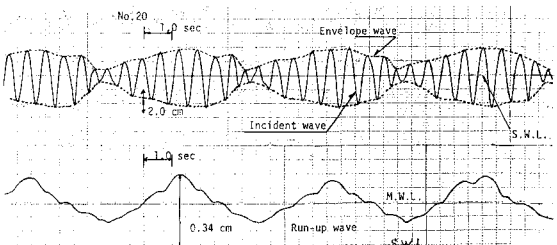


図-2 入射波と潮上波（2成分合成波）

に、潮上波の周期は入射波の周期より長くなり、むしろ入射波の波頂と波谷を包絡する包絡波形の周期にはほぼ等しくなる場合が多い。これは、先行波と後続波の波高と周期の大小関係で、小さな波が斜面上で大きな波に追いつかれたり、また大きな波の down-rush 時に小さな波の up-rush 波が打ち消されたりして結果生じたものと考えられるが、入射波の包絡波形が斜面上における潮上波の周期分布を支配する一つの重要な要素となっていると考えられる。このことは入射波を zero-upcross 波と定義し、さらに規則波換算して潮上波の特性を推算するとの困難さを示している。入射波が不規則波となる場合も、図-3(a)(b) に示すように入射波の周期（Zero-upcross 波）に比べて潮上波の周期が著しく長くなっている。図-3(c) は入射波の包絡波形を図-3(c) に示すような直線近似で近似して場合の接幅比を示している。図-3(c) の包絡波形は潮上波の波形とは勿論一致していないが、入射波の波形（図-3(a)）よりは潮上波の波形に近くとみなしえる。そこで、潮上波、入射波の水位変動と包絡波形の周期分布の関連性について論議してみる。図-4 に示すように、入射波の水位変動の周期 $T/4\pi$ はほぼ $T^2 Rayleigh$ 分布と近似されていて（■印）、包絡波形の周期と潮上波の周期 $T/4\pi$ は $T^2 Rayleigh$ 分布からはずれて

る。また、潮上波の周期分布は包絡波形のそれと類似している。ただし、平均周期では潮上波で4.0秒、包絡波で6.4秒で、包絡波の方方が長い。一方、周期Tの分布は、入射波の波形勾配 H_0/L_0 が小さくなるときは図-5(a)のように潮上波の周期分布のピーク周期は入射波のそれにはほぼ対応するが、 H_0/L_0 の増大に伴ない図-5(b)で示すように、潮上波の周期分布は2つのピークを示し、入射波の周期分布と包絡波形の長周期成分の分布により構成されていると考えられる。そこで今、潮上波の周期の確率密度関数 $P(T)$ は入射波と包絡波形の周期の確率密度関数 $\alpha g_1(T) + \beta g_2(T)$ の混合確率密度関数として式(1)で表現できるものとする。

$$P(T) = \alpha g_1(T) + \beta g_2(T) \quad \left. \begin{array}{l} \alpha + \beta = 1 \end{array} \right\} \quad \text{--- (1)}$$

いま、冲波波形勾配 $H_0/L_0 = 0.043$ の場合を取りあげ、Weibull確率紙上で実験値にbest fit α と β を求めると、 $g_1(T) = 2.32(T-0.12)^{3.06} \exp(-(T-0.12)^{3.06}/1.32)$, $g_2(T) = 0.05(T-0.23)^{4.9} \exp(-(T-0.23)^{4.9}/40.45)$ となる。そこで、 $\alpha = 0.2$, $\beta = 0.8$ として式(1)より $P(T)$ を求めて実験結果と比較してみる(図-6)。同図に示すと式(1)の $P(T)$ と実験値が比較的よく一致している事認められる。したがって、このことは式(1)が不規則波の潮上波の周期の分布特性である程度予測できることを示してある。本研究は自然災害防研究(1)「高潮の発生機構とその極端値に関する研究」により行なわれた事と記すとともに、本実験に協力して頂いた大阪大学大学院・林 健吾君に謝意を表する。

参考文献: 1) Sawille; Proc. of ICCE, 2) 横木・岩田・森野
; 23回海講

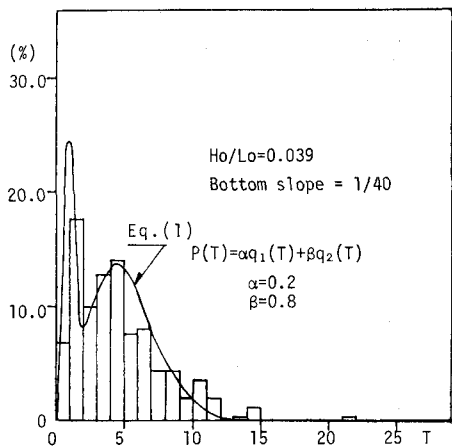


図-6 潮上波の周期の頻度分布

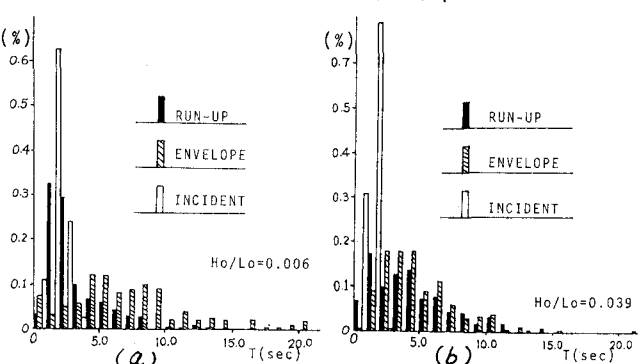


図-5 入射波、包絡波と潮上波の周期の頻度分布

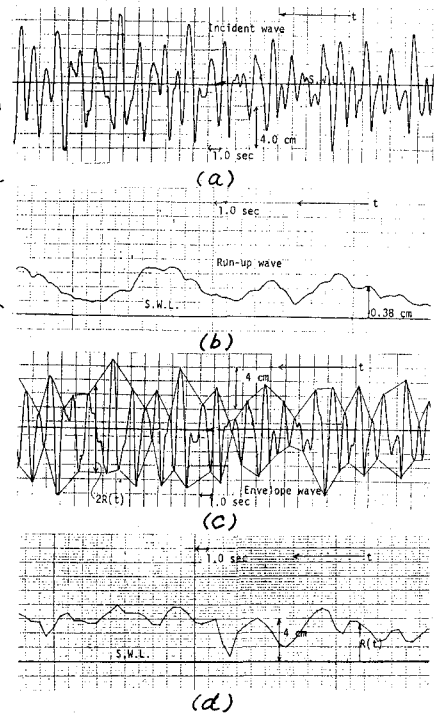


図-3 入射波と潮上波(不規則波)

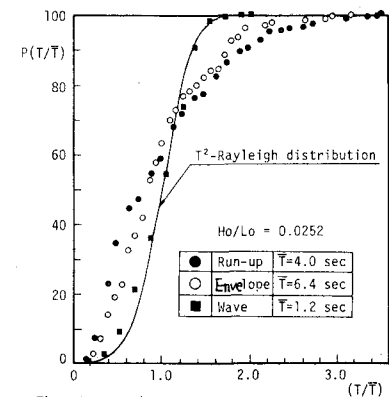


図-4 周期の分布